

# 磷酸酶 PHLPP2 抑制 GPX4 活性增强非小细胞肺癌铁死亡诱导剂 RSL3 敏感性的作用分析

王微<sup>1,2</sup>, 夏鑫杭<sup>2</sup>, 杨海华<sup>2</sup>, 宋正波<sup>1,3</sup>

(1. 浙江中医药大学,浙江杭州310053; 2. 温州医科大学附属浙江省台州医院,浙江台州317000; 3. 中国科学院大学附属肿瘤医院(浙江省肿瘤医院),中国科学院基础医学与肿瘤研究所,浙江杭州310022)

**摘要:**[目的] 探讨磷酸酶 PHLPP2 在铁死亡诱导剂 RSL3 诱导非小细胞肺癌细胞铁死亡发生中的作用及机制。[方法] 体外培养人肺癌细胞株,GPX4 抑制剂 RSL3 处理后 MTT 法检测 RSL3 抑制非小细胞肺癌细胞增殖作用,实时荧光定量 PCR 检测 mRNA 水平,Western blot 法检测蛋白表达。流式细胞术检测脂质 ROS 水平,分别采用逆转录病毒/腺病毒感染上调/下调 PHLPP2 表达,两组间比较采用独立样本 *t* 检验。[结果] RSL3 有效抑制非小细胞肺癌细胞的活力,RSL3 处理后 HCC827、H1975、H1650、A549 和 H1299 细胞的增殖率分别为  $15.22\% \pm 2.35\%$ 、 $25.05\% \pm 5.92\%$ 、 $4.40\% \pm 1.61\%$ 、 $41.48\% \pm 10.01\%$  和  $13.17\% \pm 2.54\%$ 。PHLPP2 表达水平最高的 H1650 细胞对 RSL3 抑制增殖作用最显著,RSL3 抑制增殖作用与 PHLPP2 表达水平呈正比。上调 PHLPP2 表达可以增加 RSL3 对 A549 细胞增殖抑制作用,并增加铁死亡关键标志脂质 ROS 的累积,A549-vector 和 A549-PHLPP2 组的脂质 ROS 水平分别为  $4.34\% \pm 0.39\%$  和  $15.36\% \pm 0.80\%$  ( $P < 0.001$ ) ;相反,下调 PHLPP2 表达 H1650 细胞中,RSL3 对 H1650 细胞增殖抑制作用减弱,减少了其诱导的脂质 ROS 的累积,H1650-shControl 和 H1650-shPHLPP2 脂质 ROS 水平分别为  $14.76\% \pm 1.22\%$  和  $4.89\% \pm 1.81\%$  ( $P = 0.015$ )。公共数据库挖掘分析 PHLPP2 与铁死亡关键蛋白 GPX4、SLC7A11 和 ASCL4 的相关性,发现 PHLPP2 与 GPX4 表达呈负相关 ( $r = -0.336$ ,  $P < 0.001$ )。Western blot 进一步验证了上调 PHLPP2 表达可增强 RSL3 对 GPX4 蛋白的抑制作用。[结论] PHLPP2 促进 GPX4 抑制剂 RSL3 诱导铁死亡发生,其机制主要通过协同抑制 GPX4 活性。

**主题词:** 非小细胞肺癌; 铁死亡; PHLPP2

**中图分类号:**R734.2   **文献标识码:**A   **文章编号:**1671-170X(2022)06-0459-06

doi:10.11735/j.issn.1671-170X.2022.06.B004

## Phosphatase PHLPP2 Enhances Ferroptosis Inducer RSL3 Sensitivity by Inhibiting GPX4 Activity in Non-small Cell Lung Cancer

WANG Wei<sup>1,2</sup>, XIA Xin-hang<sup>2</sup>, YANG Hai-hua<sup>2</sup>, SONG Zheng-bo<sup>1,3</sup>

(1. Zhejiang Chinese Medical University, Hangzhou 310053, China; 2. Taizhou Hospital of Zhejiang Province Affiliated to Wenzhou Medical University, Taizhou 317000, China; 3. The Cancer Hospital of the University of Chinese Academy of Sciences (Zhejiang Cancer Hospital), Institute of Basic Medicine and Cancer (IBMC), Chinese Academy of Sciences, Hangzhou 310022, China)

**Abstract:** [Objective] To explore the effect and mechanism of phosphatase PHLPP2 on ferroptosis inducers (FINS) RSL3 sensitivity in non-small cell lung cancer (NSCLC) cells. [Methods] Human NSCLC cell lines A549, H1650, HCC827, H1975 and H1299 were treated with GPX4 inhibitor RSL3, the cell proliferation was assessed by MTT assay in NSCLC cell lines. Real-time fluorescence quantitative PCR (qRT-PCR) and Western blot were used to analyze PHLPP2 expression. Lipid reactive oxygen species (ROS) was assessed by flow cytometry using fluorescent probes C11-BODIPY. Retrovirus/adenovirus transfection was used to up-regulate and down-regulate the expression of PHLPP2 in A549 and H1650 cells, respectively. Two-tailed unpaired Student's *t*-test was used for comparison between the two groups. [Results] RSL3 effectively inhibited the viability of NSCLC cells. After RSL3 treatment, the proliferation rates of HCC827, H1975, H1650, A549 and H1299 cells were  $15.22\% \pm 2.35\%$ ,  $25.05\% \pm 5.92\%$ ,  $4.40\% \pm 1.61\%$ ,  $41.48\% \pm 10.01\%$  and  $13.17\% \pm 2.54\%$ , respectively. Overexpression of PHLPP2 promoted cell death and increased lipid ROS production induced by RSL3 in A549 cells, the lipid ROS production in the A549-vector and A549-PHLPP2 groups were  $4.34\% \pm 0.39\%$  and  $15.36\% \pm 0.80\%$ , respectively ( $P < 0.001$ ). On the

基金项目:浙江省基础公益技术研究计划(LGF21H160027);台州市科技计划项目(20ywa09)

通信作者:杨海华,E-mail:yhh93181@hotmail.com

收稿日期:2022-01-11;修回日期:2022-02-11

contrary, in H1650 cells with down-regulated PHLPP2 expression, RSL3 attenuated the proliferation inhibition of H1650 cells and reduced the accumulation of lipid ROS induced by RSL3. The levels of lipid ROS of H1650-shControl and H1650-shPHLPP2 were  $14.76\% \pm 1.22\%$  and  $4.89\% \pm 1.81\%$ , respectively ( $P=0.015$ ). Public database mining analysis showed the correlation between PHLPP2 and iron death key proteins GPX4, SLC7A11 and ASCL4. It was found that PHLPP2 was negatively correlated with the expression of GPX4 ( $r=-0.336$ ,  $P<0.001$ ). Western blot further verified that up-regulating the expression of PHLPP2 enhanced the inhibitory effect of RSL3 on GPX4 protein. [Conclusion] PHLPP2 may promote ferroptosis induced by GPX4 inhibitor RLS3 through synergistic inhibition of GPX4 activity.

**Subject words:** non-small cell lung cancer; ferroptosis; PHLPP2

肺癌是导致全球癌症死亡的首要原因<sup>[1]</sup>, 非小细胞肺癌(non-small cell lung cancer, NSCLC)是最常见的肺癌类型。铁死亡(ferroptosis)是一种新型的细胞程序性死亡方式, 它是一种铁依赖性的细胞内脂质过氧化物聚集所致的非凋亡性死亡<sup>[2]</sup>。近年来研究发现铁死亡与肿瘤的发生发展密切相关, 越来越多的研究同时也证实靶向铁死亡通路可以提高化疗、免疫治疗、放射治疗等传统抗肿瘤治疗手段的疗效<sup>[3-5]</sup>。因此, 进一步理解肿瘤对铁死亡诱导剂的敏感性的机制, 对于靶向铁死亡的抗肿瘤作用至关重要。目前已发现的诱导铁死亡发生的化合物, 即铁死亡诱导剂(ferroptosis inducers, FINs)大致可分为四类: I类FINs通过抑制SCL7A11消耗谷胱甘肽(glutathione, GSH); II类FINs通过共价结合谷胱甘肽过氧化物酶4(glutathione peroxidase 4, GPX4)活性位点的硒半胱氨酸, 直接抑制GPX4的活性; III类FINs通过角鲨烯合酶-甲羟戊酸途径同时间接消耗GPX4和辅酶Q10(coenzyme Q10, CoQ10); IV类FINs通过直接的铁超载或血红素加氧酶1(heme oxygenase-1, HMOX1)的过度活性来增加不稳定的铁池(labile iron pool, LIP), 从而诱导铁死亡<sup>[6-7]</sup>。其中II类FINs RSL3直接抑制GPX4活性诱导铁死亡, 其在肺癌中的易感性受多种机制调节, 目前调节机制不明。

PHLPP(PH domain leucine-rich repeat protein phosphatase)属丝/苏氨酸蛋磷酸酯酶家族, 2005年被Gao等<sup>[8]</sup>首次在人体中发现, 包括PHLPP1和PHLPP2两种同源异构体。我们前期的研究发现肺癌中PHLPP1的表达显著降低, 治疗前基线表达水平高的患者拥有更长的总体生存期<sup>[9]</sup>, 且证实提高PHLPP1的表达可有效逆转或延缓肺癌细胞对表皮生长因子受体抑制剂(epidermal growth factor receptor

tyrosine kinase inhibitor, EGFR-TKI)的耐药<sup>[10]</sup>。而PHLPP2基因位于16q22.3, 编码PHLPP2蛋白, 由1 323个氨基酸组成, 过去几年大量研究发现PHLPP2在多种肿瘤中表达降低, PHLPP2表达下调促进肿瘤的发生发展, 并与肿瘤治疗抵抗有关<sup>[11-12]</sup>。本研究旨在探索PHLPP2介导FINs RSL3诱导铁死亡发生的作用及机制。

## 1 材料与方法

### 1.1 细胞株及试剂

人NSCLC细胞株A549、H1650、HCC827、H1975及H1299, 购于中国科学院上海细胞库。RPMI1640、高糖DMEM培养基购于Hyclon, 胎牛血清购自浙江天杭生物科技, RSL-3购自MCE。

### 1.2 细胞培养

除293T(使用高糖DMEM培养液)细胞外, 其余所有细胞均使用RPMI 1640培养液+10%FBS+1%PS置于37 °C, 5% CO<sub>2</sub>培养箱中培养, 每2~3 d更换培养液, 细胞融合至80%~90%进行胰酶消化传代。

### 1.3 MTT法检测细胞增殖实验

取对数生长期的各组NSCLC细胞, 计数后接种于96孔板, 每孔约3 000个细胞, 待细胞贴壁后给予相应浓度药物处理72 h, 去除培养液后PBST漂洗2次, 4%甲醛溶液固定, 然后用0.5%结晶紫染色, 清水漂洗自然晾干后用1% SDS溶解, 酶标仪570 nm测吸光度。Graphpad prism 8.0软件计算抑制率。

### 1.4 Western blot检测蛋白表达

总蛋白提取, 蛋白定量20 μg使用8%~15%SDS-PAGE电泳分离条带, 湿转, 5%的脱脂奶粉室温封闭1 h, 相应一抗4 °C孵育过夜, PBST摇动漂洗

3 次,每次 15 min;然后加入相应种属二抗,室温孵育 1 h,PBST 摆动漂洗 3 次;ECL 化学发光显影,采用 Image J 软件进行条带灰度分析。

### 1.5 实时荧光定量 PCR 检测 mRNA 表达

Trizol 法提取总 RNA(Invitrogen,Cat#155960178),分光光度计测 RNA 浓度和纯度;反转录试剂盒将提取的 RNA 生成 cDNA (Applied Biosystems,Cat# 4368814), 用于后续定量 PCR;qRT -PCR 采用 PowerUp<sup>TM</sup> SYBR<sup>TM</sup> Green 试剂盒 (Applied Biosystems,Cat#26620)。GAPDH 作为内参,使用 Applied Biosystems 7500 系统进行 qRT-PCR。引物如下:PHLPP2 上游引物:ATGGAGCAGACACTACCACTG, PHLPP2 下游引物 GCAAAGGACGAGATGTAAGTCA;GPX4 上游引物:GAGGCAAGACCGAAGTAAACTAC, GPX4 下游引物 :CCGAAC TGTTACACGGGAA; GAPDH 上游引物 GGAGCGAGATCCCTCCAAAAT, GAPDH 下游引物 GGCTGTGTCATACTTCTCATGG。

### 1.6 PHLPP2 上调/下调稳定细胞系构建

反转录病毒感染 A549 细胞上调表达 PHLPP2,腺病毒感染 H1650 细胞下调 PHLPP2 表达。0.5~1.0  $\mu$ g/mL 嘌呤霉素筛选 7~10 d 得到稳定细胞株。

### 1.7 流式细胞术检测脂质过氧化活性氧水平

取对数生长期相应细胞以每孔  $0.3 \times 10^6$  的密度接种在 6 孔培养皿上并生长过夜。使用 DMSO 或 RSL3 处理 24 h, 将培养基更换为含有 2  $\mu$ M BOD-I PY-581/591C11(Thermo Fisher,Cat# D3861) 的 2.0 mL 培养基, 并将细胞放回细胞培养箱中继续培养 30 min。然后用 PBS 洗涤 2 次, 并用不含 EDTA 的胰酶消化将胞悬细胞重悬于 PBS 中。使用 BD FACS Aria 细胞计数器通过流式细胞术测定每个样品的细胞的荧光强度。每个条件至少分析 3 次。

### 1.8 统计学处理

使用 Graphpad prism 8.0 版本进行统计分析作图, 计量数据采用均数±标准差表示, 两样本间比较采用非配对 t 检验,  $P < 0.05$  为差异有统计学意义。

## 2 结 果

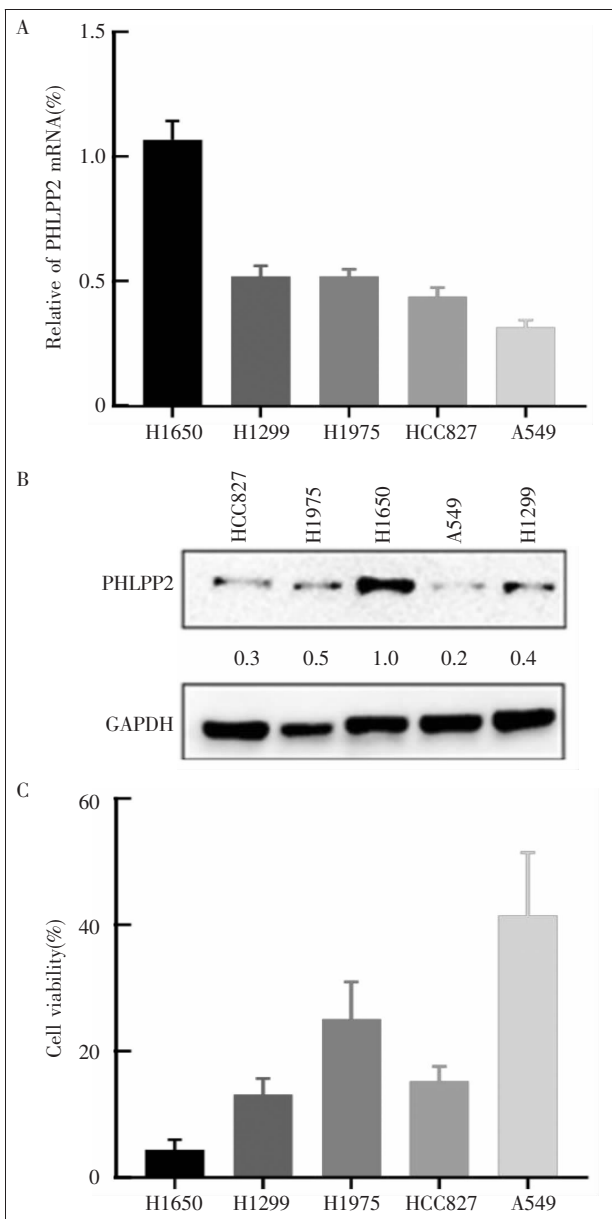
### 2.1 PHLPP2 在 NSCLC 细胞中的表达

qRT -PCR 检测 A549、H1650、HCC827、H1975 及 H1299 等 6 株 NSCLC 细胞株中 PHLPP2 mRNA 的相对表达水平(Figure 1A), 发现 A549 的 PHLPP2

表达水平最低,H1650 的 PHLPP2 表达水平最高。Western blot 进一步证实蛋白表达与 mRNA 表达一致 (Figure 1B)。基于上述结果, 选择 A549 作为 PHLPP2 过表达稳定细胞株的构建,H1650 用于下调表达稳定细胞株的构建, 用于后续实验。

### 2.2 PHLPP2 表达水平与 RSL3 敏感性呈正比

RSL3 10  $\mu$ M 处理 NSCLC 细胞株 72 h, MTT 法检测 H1650、H1299、H1975、HCC827 和 A549 的增殖



Notes:A:qRT-PCR analysis of PHLPP2 mRNA level in NSCLC cell lines;B:Western blotting analysis of PHLPP2 expression in NSCLC cell lines;C:Cell viability was determined after RSL-3 treatment 72 hours by the MTT assay

Figure 1 NSCLC cell lines expressing higher PHLPP2 exhibit increased sensitivity to FINs RSL3

率分别为 $4.41\% \pm 1.61\%$ 、 $13.17\% \pm 2.54\%$ 、 $25.05\% \pm 5.92\%$ 、 $15.22\% \pm 2.35\%$ 和 $41.48\% \pm 10.01\%$ (Figure 1C)。发现PHLPP2高表达的NSCLC细胞其RSL3抑制细胞增殖的能力更强,提示PHLPP2在RSL3诱导的细胞死亡中具有重要作用。

### 2.3 上调PHLPP2表达增加RSL3诱导A549细胞铁死亡

通过反转录病毒感染构建PHLPP2过表达A549稳定细胞株,对照组和过表达组分别命名为A549-Vector和A549-PHLPP2。Western blot验证结果表明PHLPP2过表达成功(Figure 2A)。MTT法检测过表达PHLPP2对RSL3敏感性的影响,发现与对照组相比,A549-PHLPP2过表达细胞 $IC_{50}$ 值低于对照组A549-Vector,分别为 $1.7\ \mu M$ 和 $0.23\ \mu M$ 。流式细胞检测RSL3诱导脂质活性氧产生水平,发现与对照组相比,经RSL3 $1.0\ \mu M$ 处理的PHLPP2稳定过表达A549-PHLPP2细胞脂质体活性氧水平明显上升,分别为 $4.34\% \pm 0.39\%$ 和 $15.36\% \pm 0.80\%$ ( $P < 0.001$ )(Figure 2A~2B)。

### 2.4 下调PHLPP表达降低RSL3诱导H1650细胞铁死亡

通过腺病毒转染构建PHLPP2下调表达稳定H1650细胞,命名为H1650-shPHLPP2,与H1650-shControl相比,H1650-shPHLPP2细胞对RSL3抑制率明显降低, $IC_{50}$ 值提高了近8倍,分别为 $0.52\ \mu M$ 和 $2.59\ \mu M$ 。流式细胞检测脂质活性氧水平,发现与对照组相比,经RSL3 $1.0\ \mu M$ 处理的PHLPP2下调组脂质体活性氧水平明显下调,分别为 $14.76\% \pm 1.22\%$ 和 $4.89\% \pm 1.81\%$ ( $P = 0.001$ ) (Figure 2C~2D)。

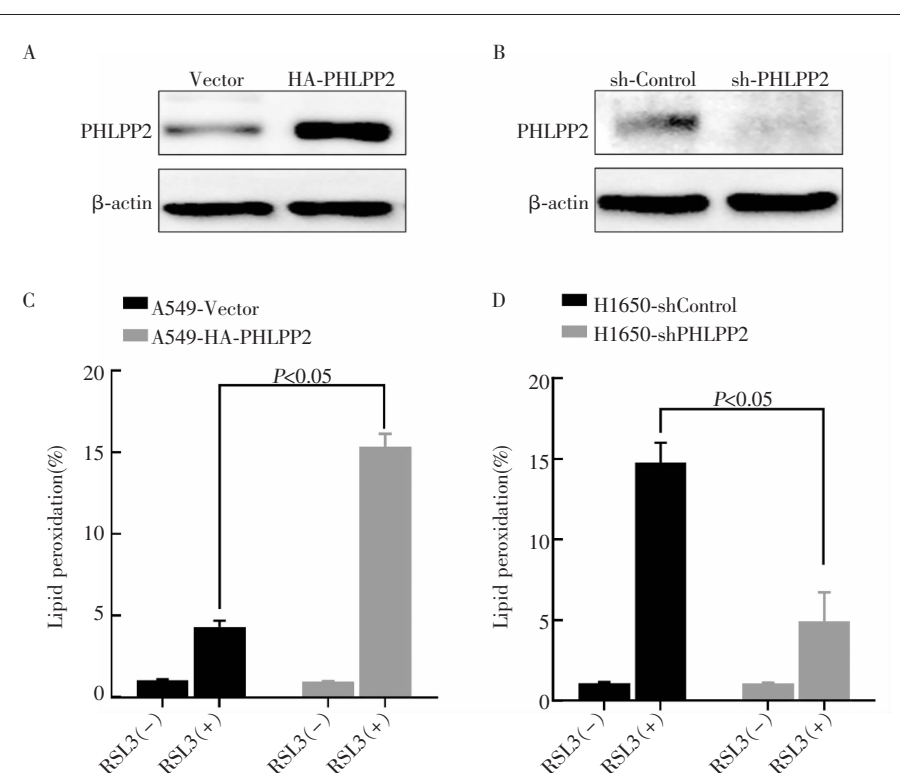
### 2.5 PHLPP2通过协同抑制GPX4表达增强RSL3诱导铁死亡作用

为进一步探究PHLPP2在铁死亡中的具体作用机

制,我们首先利用公共数据库TCGA(<http://www.cancer.sanger.ac.uk/cancergenome/projects/tcgabreast/>)在线分析了PHLPP2与铁死亡关键分子SLC7A11、GPX4和ACSL4表达的关联性(Table 1),发现在肺腺癌中PHLPP2与GPX4呈显著负相关( $r = -0.336$ , $P < 0.05$ ),但其与SLC7A11及ACSL4的相关性不明显,提示PHLPP2可能通抑制GPX4增强RSL3诱导铁死亡发生。为此,进一步探索改变PHLPP2表达对RSL3抑制GPX4活性的影响,A549-Vector和A549-PHLPP2分别用RSL3 $10\ \mu M$ 处理24 h后,Western blot检测GPX4蛋白表达变化,发现抑制GPX4蛋白表达在A549-PHLPP2较对

Table 1 Correlation between PHLPP2 expression and the expression of key components involved in the ferroptosis pathway from TCGA database

| Correlated gene | Cytoband | $r$     | $P$    | $Q$    |
|-----------------|----------|---------|--------|--------|
| GPX4            | 19p13.3  | -0.3360 | <0.001 | <0.001 |
| SLC7A11         | 4q28.3   | -0.0814 | 0.0682 | 0.118  |
| ACSL4           | Xq23     | -0.0320 | 0.4740 | 0.577  |



Notes: A: Western blot analysis of PHLPP2 over-expression in HA-vector and HA-PHLPP2 A549 cell line; B: Relative levels of lipid peroxidation production assessed by flow cytometry using C11-BODIPY staining in A549-HA-Vector and A549-HA-PHLPP2 cell lines; C: Western blot analysis of PHLPP2 expression in sh-Control and sh-PHLPP2 H1650 cell line; D: Relative levels of lipid peroxidation production assessed by flow cytometry using C11-BODIPY staining in H1650-shControl and H1650-shPHLPP2 cell lines

Figure 2 PHLPP2 overexpression or knockdown expression connect to NSCLC lines lipid ROS production by RSL3

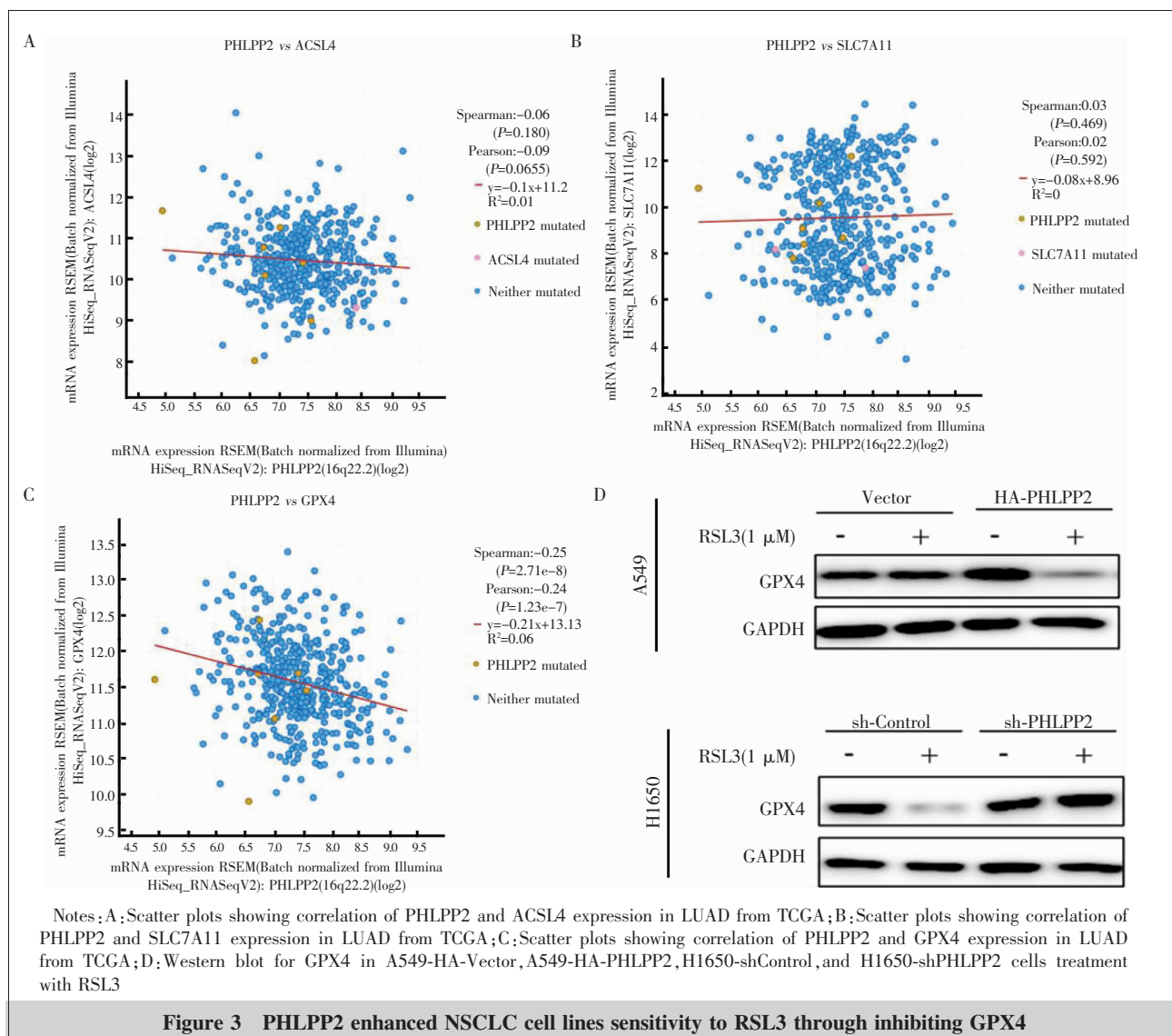
照组更加显著；相反，H1650 细胞下调 PHLPP2 表达，RSL3 对 GPX4 活性抑制作用明显减弱，进一步证实了 PHLPP2 通过抑制 GPX4 表达诱导铁死亡（Figure 3）。

### 3 讨 论

肺癌是全球死亡率最高的癌症<sup>[1]</sup>，近年来尽管治疗取得了一定的进步，其 5 年生存率仍然很低。靶向细胞死亡途径是肿瘤治疗开发的主要路径之一。

铁死亡是最近发现的一种新型细胞死亡形式，其受到多种关键因素的调控，包括溶质载体家族 7 成员 11(SLC7A11，胱氨酸的关键转运体)和 GPX4<sup>[2]</sup>。其中，GPX4 能够利用还原型谷胱甘肽降低脂质氢

过氧化物，从而抑制铁死亡发生。因此，通过靶向抑制 GPX4 活性已经成为研发铁死亡诱导剂来靶向铁死亡途径的抗肿瘤治疗的重要手段。以往研究报道化合物 RSL3 可直接灭活 GPX4 活性，从而降低细胞的抗氧化能力，积累活性氧，诱导铁死亡发生<sup>[14]</sup>。但是不同类型肿瘤对 RSL3 诱导铁死亡敏感性不同，关于介导 RSL3 铁死亡敏感性的分子机制仍不清楚。Kremer 等<sup>[15]</sup>发现下调 GOT1 表达增加胰腺癌对 RSL3 诱导铁死亡敏感性；最近的两项研究报告了敲低 FSP1（又称 AIFM2）表达的细胞对 RSL3 等铁死亡诱导剂更加敏感，相反过表达 FSP1 可以挽救铁死亡诱导剂抵抗性，证实了 FSP1 是一种有效的铁死亡抵抗因子<sup>[16-17]</sup>。因此，进一步探索 FINs 敏感性的分子机制有助于提高其敏感性。本研究发



现磷酸酶 PHLPP2 在 RSL3 诱导的铁死亡中具有重要作用，在 RSL3 敏感性低的细胞中过表达 PHLPP2 可提高其敏感性，增加脂质活性氧累积；相反，在 RSL3 敏感的细胞中敲低 PHLPP2 表达，RSL3 敏感性降低，脂质活性氧累积减少。PHLPP2 在其他肿瘤的治疗手段，如靶向治疗、放射治疗等诱导铁死亡发生的抗肿瘤作用值得更深入的研究。

综上所述，本研究发现 PHLPP2 表达通过协同抑制 GPX4 活性增强肺癌细胞对铁死亡诱导剂 RSL3 的敏感性，为铁死亡诱导剂 RSL3 敏感性提供了分子标志物。

## 参考文献：

- [1] 曹毛毛, 陈万青. GLOBOCAN 2020 全球癌症统计数据解读[J]. 中国医学前沿杂志(电子版), 2021, 13(3):63–69.  
Cao MM, Chen WQ. Interpretation on the global cancer statistics of GLOBOCAN 2020 [J]. Chinese Journal of the Frontiers of Medical Science(Electronic Version), 2021, 13(3):63–69.
- [2] Dixon SJ, Lemberg KM, Lamprecht MR, et al. Ferroptosis: an iron-dependent form of nonapoptotic cell death[J]. Cell, 2012, 149(5):1060–1072.
- [3] Lang X, Green MD, Wang W, et al. Radiotherapy and immunotherapy promote tumoral lipid oxidation and ferroptosis via synergistic repression of slc7a11[J]. Cancer Discov, 2019, 9(12):1673–1685.
- [4] Ye LF, Chaudhary KR, Zandkarimi F, et al. Radiation-induced lipid peroxidation triggers ferroptosis and synergizes with ferroptosis inducers[J]. ACS Chem Biol, 2020, 15(2): 469–484.
- [5] Wang Y, Zhao G, Condello S, et al. Frizzled-7 identifies platinum-tolerant ovarian cancer cells susceptible to ferroptosis[J]. Cancer Res, 2021, 81(2):384–399.
- [6] Hassannia B, Vandebaele P, Vanden Berghe T. Targeting ferroptosis to iron out cancer[J]. Cancer Cell, 2019, 35(6):830–849.
- [7] Liang C, Zhang X, Yang M, et al. Recent progress in ferroptosis inducers for cancer therapy[J]. Adv Mater, 2019, 31(51):e1904197.
- [8] Gao T, Furnari F, Newton AC. PHLPP: a phosphatase that directly dephosphorylates AKT, promotes apoptosis, and suppresses tumor growth[J]. Mol Cell, 2005, 18(1):13–24.
- [9] Lv D, Yang H, Wang W, et al. High PHLPP expression is associated with better prognosis in patients with resected lung adenocarcinoma[J]. BMC Cancer, 2015, 15:687.
- [10] Wang W, Xia X, Chen K, et al. Reduced PHLPP expression leads to EGFR-TKI resistance in lung cancer by activating PI3K-AKT and MAPK-ERK dual signaling [J]. Front Oncol, 2021, 11:665045.
- [11] Huang H, Pan X, Jin H, et al. PHLPP2 downregulation contributes to lung carcinogenesis following B[a]P/B[a]PDE exposure[J]. Clin Cancer Res, 2015, 21(16):3783–3793.
- [12] Wang H, Gu R, Tian F, et al. PHLPP2 as a novel metastatic and prognostic biomarker in non-small cell lung cancer patients[J]. Thorac Cancer, 2019, 10(11):2124–2132.
- [13] Gao J, Aksoy BA, Dogrusoz U, et al. Integrative analysis of complex cancer genomics and clinical profiles using the cBioPortal[J]. Sci Signal, 2013, 6(269):pl1.
- [14] 杜倩宇, 李曼, 王效静. 肺癌化疗抵抗相关因素研究进展[J]. 中国肿瘤, 2021, 30(11):875–882.  
Du QY, Li M, Wang XJ. Research progress on chemotherapy resistance-related factors in lung cancer[J]. China Cancer, 2021, 30(11):875–882.
- [15] Kremer DM, Nelson BS, Lin L, et al. Got1 inhibition promotes pancreatic cancer cell death by ferroptosis[J]. Nat Commun, 2021, 12(1):4860.
- [16] Bersuker K, Hendricks JM, Li Z, et al. The CoQ oxidoreductase FSP1 acts parallel to GPX4 to inhibit ferroptosis [J]. Nature, 2019, 575(7784):688–692.
- [17] Doll S, Freitas FP, Shah R, et al. FSP1 is a glutathione-independent ferroptosis suppressor[J]. Nature, 2019, 575 (7784):693–698.